

## ◆ 头颈部影像学

# CT and MRI manifestations of jaw odontogenic myxoma

ZHAO Xue, WANG Jingbo, TAO Xiaofeng\*

(Department of Radiology, Shanghai Ninth People's Hospital, Shanghai  
Jiaotong University School of Medicine, Shanghai 200011, China)

**[Abstract]** **Objective** To investigate spiral CT and MRI manifestations of jaw odontogenic myxoma (OM). **Methods** Totally 40 patients with OM confirmed by pathology were collected, and their CT and MRI manifestations were retrospectively analyzed. **Results** The mean age of onset was  $(33.5 \pm 13.5)$  years. The lesions located in maxilla in 11 patients, while in mandible in 29 patients. CT showed expansive bone destruction in all 40 cases and cortical destruction in 8 cases. Most lesions were multilocular with vertical or angular septations oriented toward the periphery of tumor. The edge of lesions strengthened on enhanced CT. Adjacent teeth exfoliation was observed in 18 cases. Among 5 patients underwent MRI, 3 showed homogeneous equisignal on T1WI and 2 showed homogeneous slightly higher signal. T2WI presented high signal and interior low signal line-like separation. The edge of lesions strengthened on enhanced MRI in 2 cases. **Conclusion** CT manifestations of jaw OM are of characteristics, which combining with MRI is of great significance in diagnosis of jaw OM.

**[Keywords]** jaw neoplasms; tomography computed, X-ray; magnetic resonance imaging

**DOI:** 10.13929/j.issn.1003-3289.2020.01.011

# 颌骨牙源性黏液瘤螺旋CT和MRI表现

赵 雪, 王晶波, 陶晓峰\*

(上海交通大学医学院附属第九人民医院放射科, 上海 200011)

**[摘要]** **目的** 观察颌骨牙源性黏液瘤(OM)螺旋CT及MRI表现。**方法** 收集经病理证实的40例颌骨OM患者,回顾性分析其CT及MRI表现。**结果** 40例OM,平均发病年龄( $33.50 \pm 13.50$ )岁;11例病灶位于上颌骨,29例位于下颌骨;CT均见膨胀性骨质破坏,8例骨皮质中断;病灶常见多房伴垂直或成角分隔,分隔朝向肿瘤周边;增强后病灶边缘强化。18例邻近牙齿脱落。5例接受MRI,其中3例T1WI呈均匀等信号,2例呈均匀稍高信号;5例T2WI均呈高信号,内部见低信号线样分隔。2例增强MRI显示病灶边缘强化。**结论** 颌骨OM的CT表现具有特征性,联合MRI对诊断颌骨OM具有重要意义。

**[关键词]** 颌肿瘤;体层摄影术,X线计算机;磁共振成像

**[中图分类号]** R739.82; R445 **[文献标识码]** A **[文章编号]** 1003-3289(2020)01-0042-04

牙源性黏液瘤(odontogenic myxoma, OM)系起源于牙源性间叶组织的良性肿瘤,临床少见,约占牙源性肿瘤的0.2%~17.7%,其发病率仅次于成釉细胞瘤和牙源性角化囊性瘤,在牙源性肿瘤中居第3位<sup>[1-3]</sup>。OM无包膜或包膜不完整,具有局部浸润性,

保守治疗后易复发<sup>[2]</sup>。X线摄影术(口腔全景片等)是显示和诊断颌骨病变的基本影像学方法,OM表现呈多样性,为单房或多房,呈特征性“网球拍状”“火焰状”表现,易与其他牙源性肿瘤及非牙源性肿瘤混淆,或被误诊为恶性肿瘤<sup>[4]</sup>。CT可清楚显示OM病变范围、

**[基金项目]** 国家自然科学基金(91859202, 81771901)。

**[第一作者]** 赵雪(1992—),女,山东临沂市人,硕士,住院医师。研究方向:头颈部肿瘤影像学。E-mail: zhaoxuecomeon@sina.com

**[通信作者]** 陶晓峰,上海交通大学医学院附属第九人民医院放射科,200011。E-mail: cjr.taoxiaofeng@vip.163.com

**[收稿日期]** 2019-04-24 **[修回日期]** 2019-12-18

边界和骨质破坏等<sup>[5]</sup>,MRI 可显示软组织及病变内部成分。既往 OM 多见于个案报道<sup>[6]</sup>。本研究分析 40 例 OM 的 CT 和 MRI 资料, 观察其影像学特征, 以期提高临床及放射科医师对颌骨 OM 的认识。

## 1 资料与方法

1.1 一般资料 收集 2013 年 11 月—2018 年 4 月 40 例于上海交通大学医学院附属第九人民医院确诊的颌骨 OM 患者,男 18 例,女 22 例,年龄 10~66 岁,平均(33.5±13.5)岁,其中 23 例 20~40 岁。纳入标准:①影像学资料完整;②OM 原发于颌骨;③经手术病理确诊。排除标准:①治疗后病灶;②复发性病变。

1.2 仪器与方法 对 40 例患者均进行 CT 检查,对其中 11 例行 CT 增强检查;5 例行平扫 MR,2 例行 MR 增强检查。CT 检查采用 Philips Brilliance 64 排螺旋 CT 仪,管电压 120 kV,管电流 50 mA,层厚 5 mm,间距 5 mm,矩阵 512×512。对比剂采用碘佛醇,剂量 70~80 ml,注射流率 2.50 ml/s;重建层厚 1 mm。MRI 采用 Philips Ingenia 3.0T MR 扫描仪,头颈联合线圈,扫描序列及参数:横轴位 T1W(TR 615 ms,TE 18 ms),横轴位 T2W(TR 2 700 ms,TE 70 ms),横轴位抑脂增强 T1W(TR 745 ms,TE 8.2 ms),冠状面增强 T1W(TR 550 ms,TE 8.8 ms);其他参数相同:矩阵 256×256,FOV 260 mm×260 mm,层厚 5 mm,层距 1 mm。对比剂为钆喷酸葡胺,注射流率 2.0 ml/s,剂量 0.1 mmol/kg 体质量。

1.3 数据处理与分析 将所有原始 CT 数据传入 Philips Extended Brilliance Workspace 工作站,由 1 名具有 3 年头颈部影像学诊断经验的住院医师采用工作站自带软件行后处理,包括多平面重组(multiplanar reformation, MPR)和容积再现(volume rendering, VR)。MPR 包括冠状面和与下颌骨走行一致的斜矢状面,层厚 1 mm。由另外 2 名分别具有 5 年和 7 年头颈部影像学诊断经验的主治医师阅读所有 CT 及 MRI,意见不一致时经共同探讨确定。

## 2 结果

表 1 颌骨 OM 的 CT 表现(例)

病变类型	病灶部位			病灶内部				相邻牙齿改变		
	前牙区	后牙区	前后牙区	无骨小梁	纤细骨小梁	垂直或成角分隔	脱落	牙根吸收	松动	埋伏牙
上颌骨单房病灶	0	2	2	2	3	0	0	0	1	0
下颌骨单房病灶	2	7	3	6	5	0	3	2	2	0
上颌骨多房病灶	0	4	3	0	1	4	5	0	0	0
下颌骨多房病灶	1	12	4	0	2	17	10	2	2	2
合计	3	25	12	8	11	21	18	4	5	2

40 例 OM 中,35 例临床表现为颌骨缓慢增大的无痛性肿块(35/40, 87.50%),2 例鼻塞(2/40, 5.00%),1 例下唇麻木(1/40, 2.50%),2 例(2/40, 5.00%)于口腔检查时偶然发现。CT 及 MRI 示病灶最大 6.0 cm×8.5 cm×5.0 cm, 最小 1.0 cm×0.5 cm×0.8 cm;11 例(11/40, 27.50%)位于上颌骨,29 例(29/40, 72.50%)位于下颌骨;最多见于下颌后牙区(19/40, 47.50%),累及下颌骨体部、角部、升支;1 例累及双侧下颌骨。CT 平扫均呈膨胀性骨质破坏,其中 1 例呈“日光放射状”改变(图 1),8 例(8/40, 20.00%)骨皮质中断。病灶内常见多房伴与病灶周边垂直或成角的分隔(表 1),24 例(24/40, 60.00%)呈多房型,其中 3 例(3/40, 7.50%)见直线、弯曲状纤细分隔(图 2);16 例(16/40, 40.00%)单房型,其中 8 例(8/40, 20.00%)见纤细骨小梁。40 例中,2 例累及上颌窦(图 2),2 例见埋伏牙。40 例病灶 CT 值 0~58 HU, 平均(24.34±12.06)HU, 其中 36 例(36/40, 90.00%)病灶呈低密度(图 1),4 例(4/40, 10.00%)呈等密度。11 例 CT 增强扫描病灶边缘均强化, 内部无明显强化(图 1)。5 例 MRI 示病灶与周围软组织边界清楚,4 例病灶位于下颌骨、1 例位于上颌骨;4 例位于后牙区,1 例位于前牙区。3 例 T1WI 呈均匀等信号(图 3A),2 例呈均匀稍高信号;5 例 T2WI 均呈高信号, 内部见低信号线样分隔(图 3B)。其中 2 例增强后周边强化而内部无明显强化(图 3C)。

## 3 讨论

OM 是口腔颌面部少见的良性肿瘤,于 1947 年首次报道<sup>[7]</sup>, 目前其病因尚不明确, GONZALEZ-GAL 等<sup>[8]</sup>认为可能与破骨细胞生成相关的细胞核因子 κ 因子活化受体(receptor activator of NF-κB, RANK)、细胞核因子 κB 因子活化受体配体(receptor activator of NF-κB ligand, RANK-L) 和骨保护因子(osteoprotegerin, OPG)活化有关。组织学上,OM 边界不清,无包膜或包膜不完整;肉眼见病灶位于骨内时,

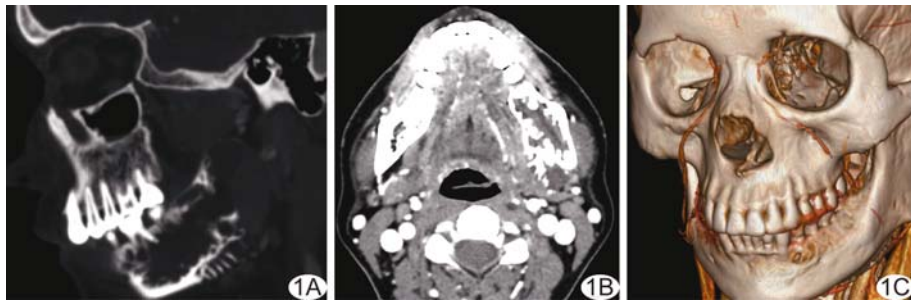


图1 患者女,46岁,左侧下颌骨OM A. CT斜矢状位重建示下颌骨下缘骨性分隔垂直于病灶周边; B. CT增强图像示病灶局部骨质破坏呈“日光放射状”改变,病灶内部未见强化; C. VR示左侧下颌骨OM



图2 患者女,32岁,右上颌骨OM A. CT平扫骨窗图像示右上颌骨病灶内部纤细分隔,与病灶周边垂直或成角; B. CT冠状位重建图像示病灶向上突入上颌窦; C. VR示右侧上颌骨OM

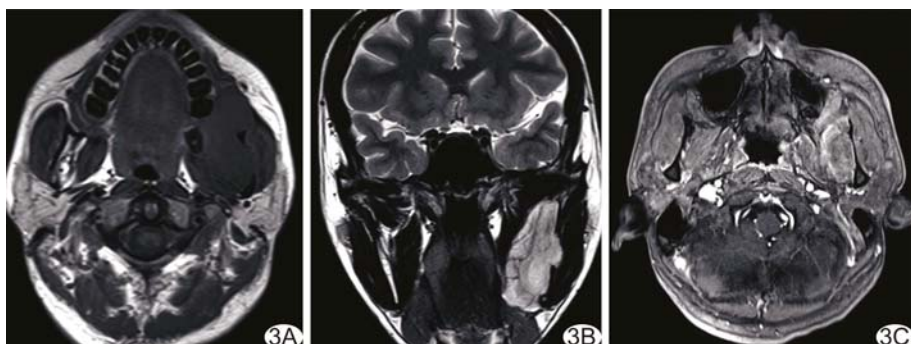


图3 患者男,18岁,左下颌骨OM A. 轴位T1WI示左下颌后牙区均匀等信号; B. 冠状位T2WI示病灶呈不均匀高信号,内见线状低信号; C. T1WI增强示病灶周边明显强化,中心未见明显强化

肿瘤细胞可能已经侵及病灶周边骨小梁结构<sup>[9]</sup>。镜下可见大量黏液样组织,内有疏松排列的星型细胞、梭形细胞,以长胞浆突起相连<sup>[10]</sup>。

OM好发于青年,以20~40岁高发,患者多以颌面部缓慢增大的无痛性肿块就诊,肿瘤侵及牙槽突时,可致牙齿松动或脱落,压迫下牙槽神经可致下唇麻木等感觉障碍<sup>[1,7]</sup>。本组40例中,35例(87.50%)以无痛性肿块就诊;24例(60.0%)存在多房型病灶,其中

12例(32.5%)位于下颌后牙区;18例牙齿脱落,与KHEIR等<sup>[1,7]</sup>研究结果一致,而与SIMON等<sup>[10]</sup>报道的52.38%牙根吸收发生率(11/21)略有差异。

CT扫描辅以MPR和VR,尤其斜矢状位重建图像,可提供三维解剖信息、骨组织及邻牙受累等空间情况,显示直线、弯曲状纤细骨小梁或分隔,与肿瘤周边垂直或成角。本组21例(52.5%)OM可见垂直或成角的特征性分隔,11例(27.5%)病灶内见纤细骨小梁,与既往研究<sup>[11-13]</sup>结果相符。本组36例(90.0%)OM为低密度灶,与KHEIR等<sup>[1]</sup>关于OM中,等、低密度灶各占50%的结果略有差异。GOEL等<sup>[14]</sup>报道1例OM呈“日光放射”改变,本组中1例见此征象,可能与肿瘤反应性新生骨呈放射状并侵犯周围软组织有关。MRI的软组织分辨率极高,具有可多参数、多平面成像,无电离辐射,不受碘过敏限制等优势。KAWAI等<sup>[15]</sup>发现OM于T1WI和T2WI均呈中等信号,增强T1WI示肿瘤周边明显强化,内部无明显强化,与其组织学成分相对应;肿瘤周边胶原纤维成分与强化部分相对应,内部无强化区则对应内部黏液成分。本组5例MRI均显示OM呈纤维与黏液混合病灶,病灶周边强化,内部无明显强化,肿瘤边界均清楚可见,与KAWAI等<sup>[15]</sup>的结果基本一致。

OM应与其他颌骨肿瘤相鉴别。肿瘤内见骨小梁或分隔时,应与成釉细胞瘤鉴别,后者是颌骨最常见良性肿瘤,其分房呈肥皂泡或蜂窝状,增强后边缘强化或实性部分结节状强化;而OM的分隔呈“网球拍状”或“火焰状”,与肿瘤周边垂直或成角,增强后边缘强化。此外,当患者出现疼痛、麻木等侵袭性症状时,需与颌骨骨肉瘤鉴别:OM病灶内线样分隔与骨肉瘤的瘤骨

骨针相似,但OM病程进展缓慢,骨肉瘤病程进展快,伴明显疼痛、麻木感。

综上所述,OM较为少见,临床表现不典型,易与其他颌骨肿瘤混淆。当CT示病灶内纤细分隔与周边骨皮质垂直或成角,MRI示病灶内囊性成分伴低信号分隔时,提示OM可能性大。两者联合诊断颌骨OM具有重要意义。本研究样本例数少,有待进一步完善。

### [参考文献]

- [1] KHEIR E, STEPHEN L, NORTJE C, et al. The imaging characteristics of odontogenic myxoma and a comparison of three different imaging modalities[J]. Oral Surg Oral Med Oral Pathol Oral Radiol, 2013, 116(4):492-502.
- [2] KAUKE M, SAFI A F, KREPPEL M, et al. Size distribution and clinicoradiological signs of aggressiveness in odontogenic myxoma—three-dimensional analysis and systematic review [J]. Dentomaxillofac Radiol, 2018, 47(2):20170262.
- [3] JOHNSON N R, GANNON O M, SAVAGE N W, et al. Frequency of odontogenic cysts and tumors: A systematic review [J]. J Invest Clin Dent, 2014, 5(1):9-14.
- [4] 刘运岭.牙源性粘液瘤误诊8例分析[J].中国误诊学杂志,2002,(6):927-928.
- [5] WANG K, GUO W, YOU M, et al. Characteristic features of the odontogenic myxoma on cone beam computed tomography[J]. Dentomaxillofac Radiol, 2017, 46(2):20160232.
- [6] 赵明泽,王乃中,牛胜慧.牙源性黏液瘤1例[J].中国医学影像技术,2008,24(S1):139.
- [7] NOFFKE C E, RAUBENHEIMER E J, CHABIKULI N J, et al. Odontogenic myxoma: review of the literature and report of 30 cases from South Africa[J]. Oral Surg Oral Med Oral Pathol Oral Radiol Endod, 2007, 104(1):101-109.
- [8] GONZALEZ-GAL VAN M C, MOSQUEDA-TAYLOR A, BOLOGNA-MOLINA R, et al. Evaluation of the osteoclastogenic process associated with RANK/RANK-L/OPG in odontogenic myxomas[J]. Med Oral Patol Oral Cir Bucal, 2018, 23 (3): e315-e319.
- [9] SHIVASHANKARA C, NIDONI M, PATIL S, et al. Odontogenic myxoma: A review with report of an uncommon case with recurrence in the mandible of a teenage male[J]. Saudi Dent J, 2017, 29(3):93-101.
- [10] SIMON EN, MERKX MA, VUHAHULA E, et al. Odontogenic myxoma: A clinicopathological study of 33 cases [J]. Int J Oral Maxillofac Surg, 2004, 33(4):333-337.
- [11] VASCONCELOS A C U, SILVEIRA F M, GOMES A P N, et al. Odontogenic myxoma: A 63-year retrospective multicenter study of 85 cases in a Brazil population and a review of 999 cases from literature[J]. J Oral Pathol Med, 2018, 47(1):71-77.
- [12] ZHANG J, WANG H, HE X, et al. Radiographic examination of 41 cases of odontogenic myxomas on the basis of conventional radiographs[J]. Dentomaxillofac Radiol, 2007, 36(3):160-167.
- [13] ZAININE R, MIZOUNI H, EL KORBI A, et al. Maxillary bone myxoma[J]. Eur Ann Otorhinolaryngol Head Neck Dis, 2014, 131(4):257-259.
- [14] GOEL S, GOEL M, DINKAR A D. Odontogenic myxoma of mandible with unusual (sunburst) appearance: A rare case report[J]. J Clin Diagn Res, 2016, 10(5):ZJ05-ZJ07.
- [15] KAWAI T, MURAKAMI S, NISHIYAMA H, et al. Diagnostic imaging for a case of maxillary myxoma with a review of the magnetic resonance images of myxoid lesions[J]. Oral Surg Oral Med Oral Pathol Oral Radiol Endod, 1997, 84(4): 449-454.

### 严正声明

近日有不法分子冒充我社编辑,诱骗作者投稿、缴费等。《中国医学影像技术》期刊社两刊在线投稿网站信息为:

《中国医学影像技术》 <http://www.cjmit.com>

《中国介入影像与治疗学》 <http://www.cjiit.com>

作者在投稿、缴费时,请注明稿号、姓名;并务必通过银行或邮局汇款至户名为《中国医学影像技术》期刊社的对公账号。

敬请广大作者、读者相互转告,提高警惕、谨防上当受骗。如有疑问请致电 010-82547901/2/3 或发邮件至 [cjmit@mail.ioa.ac.cn](mailto:cjmit@mail.ioa.ac.cn)。

特此声明!

《中国医学影像技术》期刊社

2019年11月